

## TERMOANALYTICKÉ ŠTÚDIUM VYSOKOTEPLOTNEJ DEHYDRATÁCIE KAOLINITOV

### II. Aktivačné parametre reakcie a kompenzačný kinetický efekt

IVAN HORVÁTH, PETER KOMADEL, LUBICA GÁLIKOVÁ

Ústav anorganickej chémie Centra chemického výskumu SAV, 842 36 Bratislava

Došlo 2. 8. 1983

Na základe výsledkov izotermickej TG analýzy boli vypočítané hodnoty aktivačnej energie ( $E_A$ ), frekvenčného faktoru ( $A$ ), aktivačnej entrópie ( $\Delta S^\neq$ ) aktivačnej entalpie ( $\Delta H^\neq$ ) a aktivačnej volnej entalpie ( $\Delta G^\neq$ ) dehydroxylácie kaolinitov.

Zistilo sa, že aktivačné parametre dehydroxylačného procesu vykazujú kompenzačný kinetický efekt. Z kompenzačných vzťahov sa určila izokinetickej teplota  $\beta = 679 \pm 2$  K.

### UVOD

V predchádzajúcich prácach [1, 2] sme sledovali vzťah medzi termometrickými parametrami, mechanizmom a aktivačnou energiou dehydroxylácie kaolinitov s rôznym stupňom usporiadosti štruktúry. Zistilo sa, že v intervale premene  $0 < \alpha < 0,7$  aktivačná energia procesu rastie s poklesom usporiadania štruktúry kaolinitu. Ďalej sa zistilo, že aktivačná energia klesá s rastúcou hrúbkou skúmaných častic kaolinitu. Rýchlosť dehydroxylácie bola popísaná matematicko-fyzikálnym modelom pre difúziu v guľovitej časticí (model  $D_3$  podľa [3]).

Na základe týchto poznatkov bola vyslovená hypotéza o limitujúcom vplyve medzivrstvových sil v štruktúre kaolinitu, ktoré predstavujú prevažne energie vodíkových väzieb medzi OH skupinami oktaedrickej vrstvy a atómami kyslíka protiležiacej tetraedrickej vrstvy.

V tejto práci je študovaný širší súbor kaolinitov pri rôznych podmienkach experimentu (z hľadiska úpravy kaolinitickej vzorky a modifikácie reakčného prostredia). Okrem aktivačnej energie sme definovali ďalšie kinetické konštandy procesu a overili sme možnosti ich vzájomnej korelácie so zreteľom na kinetický kompenzačný efekt.

### EXPERIMENTÁLNA ČASŤ

#### Použité materiály

Pre termoanalytické štúdium boli použité vzorky 9 kaolinitov z lokalít v ČSSR, NDR a USA. Okrem vzoriek skúmaných už v prácach [1 a 2] boli pre ďalší výskum použité kaoliniity z NDR (PR-1 a PR-2), čs. kaoliniity Kaznějov a Žiar, vzorka halloysitu Michalovce a vzorky fireclay minerálov z Lučenskej kotliny (vzorka č. 7) a z východoslovenského neogénu (vzorka č. 9).

Kaolinitické koncentráty (skúmané vzorky obsahovali 90—95 % kaolinitického minerálu) boli pripravené z prírodných vzoriek kombináciou sedimentačných separačných metód. Vzorky boli študované v práškovom stave po vysušení pri 110 °C, v dvoch prípadoch (vzorky č. 5 a 8) boli nanášané na Pt fóliu priamo

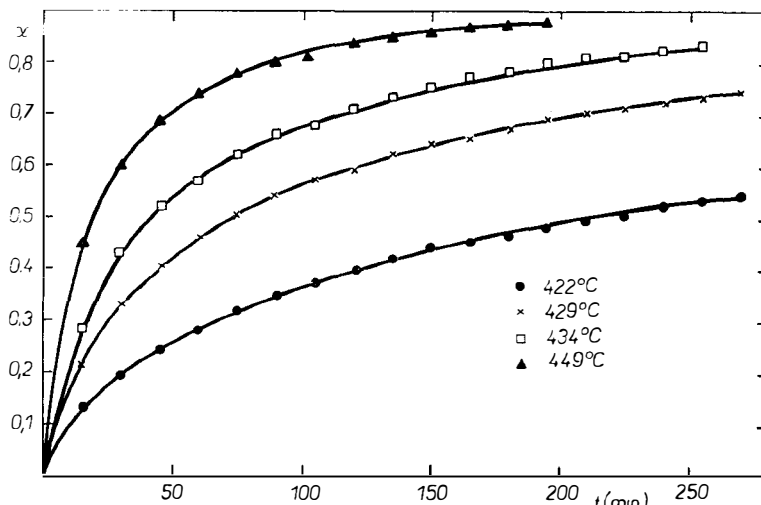
do termováh vo forme suspenzie a potom vysušené. V prípade vzorky č. 10 (kaolinit Kaznějov) bol tepelný rozklad študovaný po predchádzajúcom drvení (po dobu 2 h.) v achátovej miske (umele vyvolaná neusporiadanosť štruktúry).

### Termoanalytické merania

Kaolinitické vzorky v množstve 15—20 mg boli izotermicky dehydroxylované v termováhach TGA 951 termoanalyzátora DuPont 990 v atmosféri pretekajúceho  $N_2$  ( $1 \text{ cm}^{-3} \cdot \text{s}^{-1}$ ), v prípade vzoriek č. 11 a 12 bol pretekajúci  $N_2$  sýtený  $H_2O$  pri teplote miestnosti ( $p_{H_2O} \doteq 26,6 \text{ kPa}$ ).

### VYHODNOTENIE TERMOANALITICKÝCH MERANÍ

Izotermické merania boli vyhodnocované metódou popísanou v práci [1]. Typické izotermy dehydroxylácie kaolinitu uvádzame na obr. 1. Porovnaním experimentálnych výsledkov s modelovými mechanizmami v relatívnej časovej stupni sa dosiahla najlepšia zhoda s modelmi  $D_3$  a SO (rýchlosťná rovnica reakcií II. poriadku) — obr. 2.



Obr. 1. Izotermy dehydroxylácie kaolinitu Kaznějov (achátovaný 2 h,  $p_{H_2O} \doteq 26,6 \text{ kPa}$ ).

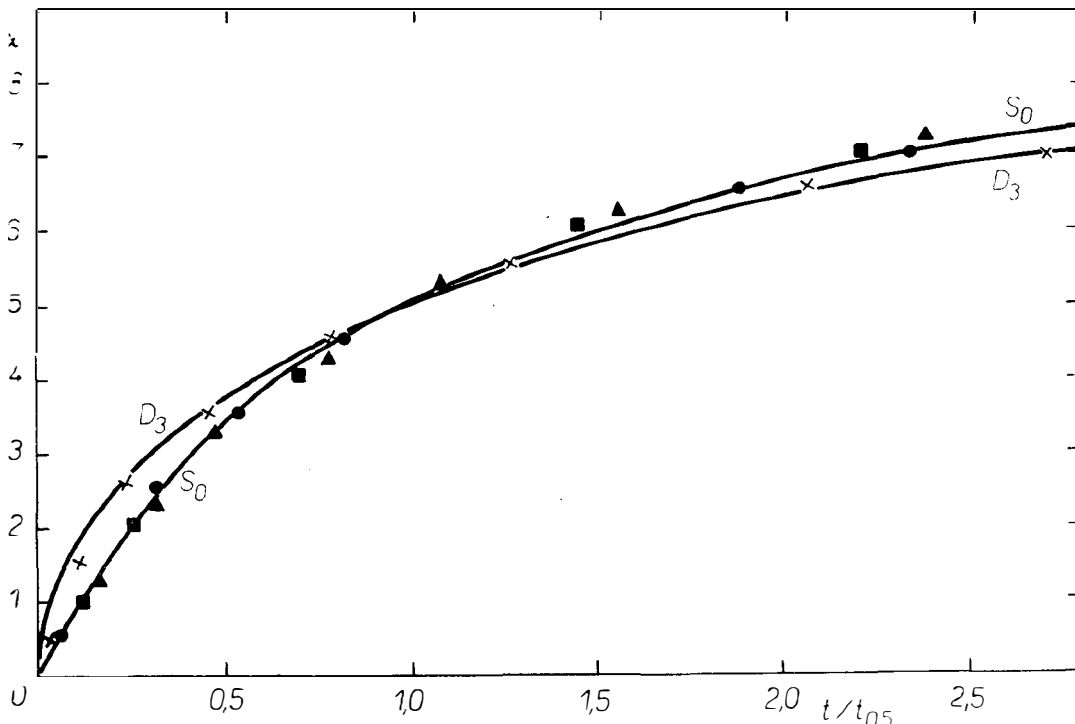
Pre najpravdepodobnejšie mechanizmy boli vypočítané rýchlosťné konštance a z Arrheniovho vzťahu

$$\ln k = \ln A - E_A/RT \quad (1)$$

boli získané hodnoty aktivačnej energie  $E_A$  a frekvenčného faktoru  $A$ .

Hodnoty aktivačnej entrópie  $\Delta S^\neq$  a aktivačnej entalpie  $\Delta H^\neq$  boli získané zo vzťahu

$$\ln \frac{k\hbar}{kT} = -\frac{\Delta H^\neq}{RT} + \frac{\Delta S^\neq}{R}, \quad (2)$$



Obr. 2. Porovnanie modelových mechanizmov  $S_0$  a  $D_3$  v relativnej časovej stupnici s časom experimentálnych výsledkov ( $\times$  — fireclay 641 K;  $\blacktriangle$  — halloysit 659 K;  $\bullet$  — Kaznějov 670 K;  $\blacksquare$  — Žiar 655 K).

kde  $k$  je rýchlosťná konštantá pri teplote  $T$ ,  $k$  je Boltzmannova konštantá,  $h$  je Planckova konštantá a  $R$  je plynová konštantá.

Hodnoty aktivačnej voľnej entalpie boli počítané podľa rovnice:

$$\Delta G^\neq = \Delta H^\neq - T \Delta S^\neq, \quad (3)$$

v ktorom teplota

$$T = \frac{T_{\max} + T_{\min}}{2}, \quad (4)$$

( $T_{\max}$  a  $T_{\min}$  sú krajné teploty teplotného intervalu, v ktorom prebiehali izotermické merania).

Výsledky termoanalytických meraní a hodnoty aktivačných parametrov uvádzame v Tab. I.

## DISKUSIA

### Mechanismus dehydroxylácie kaolinitov

Názory na mechanismus dehydroxylačnej reakcie kaolinitov vyplývajúce z vyhodnotenia izotermických TG meraní sa vyvíjali a menili so zdokonaľovaním

**Tabuľka I**  
Termochemické a aktivačné parametre dehydroxylácie kaolinitov

Vz. č. kaolinit	Atm.	Úprava vzorky	Tepl. int. <i>T</i> (K)	Mech.	<i>E<sub>A</sub></i> (kJ · mol <sup>-1</sup> )	<i>A</i> (s <sup>-1</sup> )	$\Delta H^\neq$ (kJ · mol <sup>-1</sup> )	$\Delta S^\neq$ (J · K <sup>-1</sup> · mol <sup>-1</sup> )	$\Delta G^\neq$ (kJ · mol <sup>-1</sup> )
1. Mesa Alta	N <sub>2</sub>	prášk.	662—698	D <sub>3</sub>	143	$1,17 \cdot 10^6$	138	—143	235
2. Žiar	N <sub>2</sub>	susp.	650—695	SO	151	$4,40 \cdot 10^8$	144	—96	209
3. PR—1	N <sub>2</sub>	prášk.	659—675	SO	146	$6,96 \cdot 10^7$	141	—109	214
4. BZ	N <sub>2</sub>	prášk.	655—695	D <sub>3</sub>	149	$3,41 \cdot 10^6$	143	—135	235
5. Kaznějov	N <sub>2</sub>	susp.	671—702	SO	153	$2,00 \cdot 10^8$	148	—100	217
6. Kaznějov	N <sub>2</sub>	prášk.	651—702	SO	175	$7,99 \cdot 10^9$	170	—70	217
7. fireclay	N <sub>2</sub>	prášk.	626—641	D <sub>3</sub>	181	$6,90 \cdot 10^9$	176	—71	221
8. halloysit	N <sub>2</sub>	susp.	641—659	SO	198	$3,40 \cdot 10^{12}$	194	—18	206
9. fireclay	N <sub>2</sub>	prášk.	623—637	D <sub>3</sub>	251	$8,38 \cdot 10^{15}$	243	42	217
10. Kaznějov	N <sub>2</sub>	achát.	705—741	SO	247	$1,90 \cdot 10^{14}$	242	14	232
11. PR—1	H <sub>2</sub> O	prášk.	693—718	SO	282	$2,34 \cdot 10^{17}$	278	74	226
12. PR—2	H <sub>2</sub> O	prášk.	702—727	SO	301	$7,68 \cdot 10^8$	296	101	224

Poznámky: aktivačné parametre boli vypočítané pre interval konverzie  $0 < \alpha < 0,7$ ; Atm — atmosféra v reakčnom prostredí; Mech. — mechanizmus (pozri v teste).

termoanalytických metód výskumu. Prvé práce [4—7] predpokladajú mechanizmus reakcií prvého poriadku podla rýchlosnej rovnice

$$\ln(1 - \alpha) = -kt, \quad (5)$$

ktorý v tomto prípade vyjadruje klesanie reakčnej rýchlosťi s úbytkom koncentrácie nezreagovanej vzorky. Prvé práce vychádzali z meraní veľkých navážiek (viac ako 100 mg), pri ktorých stupeň premeny vnútorných častí vzorky zaostával za vonkajšími, takže napr. v prvých fázach pokusu zostávala vnútorná časť vzorky nezreagovaná [8]. Až zdokonalením prístrojovej techniky umožňujúcej študovať rozklad malých navážiek vzorky (10—20 mg) sa vplyv rýchlosťi prestopu tepla vzorkou obmedzil takže bolo možné merať reálne kinetické parametre. Zistilo sa, že najpomalším krokom pri dehydroxylácii je transport molekúl  $H_2O$  (g) vnútri kryštálu a z fázového rozhrania [9, 10].

Pri vyhodnocovaní izotermických meraní dokumentovaných v tejto práci bola dosiahnutá najlepšia zhoda s modelom pre difúziu v guľovitej časticí popísanou rovnicou:

$$\left(1 - \frac{2}{3}\alpha\right) - (1 - \alpha)^{2/3} = kt \quad (6)$$

a s modelom popísaným rýchlosnou rovnicou reakcií II. poriadku (SO):

$$\left(\frac{1}{1 - \alpha}\right) = kt. \quad (7)$$

Priebeh modelových funkcií  $D_3$  (rovica „6“) a SO s časou experimentálnych údajov v relatívnej časovej stupniči uvádzame na obr. 2.

Priebehy obidvoch funkcií sú si značne podobné a väčšina predchádzajúcich autorov pri výskume kinetiky dehydroxylácie kaolinitov s možnosťou porovnania experimentálnych výsledkov s mechanizmom SO zrejme neuvažovala. Prvá zmienka o použití mechanizmu SO pre popis dehydroxylácie je v práci [11].

Fyzikálna interpretácia difúzneho modelu podľa rovnice (6) pri tepelnom rozklade kaolinitov je založená na predstave difúzie  $H_2O$  (g) z guľovitej časticie vzorky s rôzne orientovanými doštičkovitými kryštálmi, z ktorých uniká  $H_2O$  v smere kryštalografických osí  $X$  a  $Y$ .

Interpretácia kinetického modelu heterogénnej reakcie podľa rovnice (7) je nejasná a stretávame sa tu iba so zdánlivou zhodou experimentálnych výsledkov s matematickým modelom SO.

### Použitie Arrheniovej rovnice

Rýchlosť dehydroxylácie kaolinitov rastie s teplotou a pre zistený mechanizmus platí lineárny vzťah  $\ln k = f(1/T)$ .

Z tab. I. vyplýva, že hodnoty aktivačnej energie  $E_A$  kolíšu pre súbor sledovaných vzoriek v intervale 140—300  $kJ \cdot mol^{-1}$  v závislosti od druhu kaolinitu, charakteru vzorky a reakčného prostredia. Rozptyl hodnôt  $E_A$  pre štandardné kaolity (vzorky č. 1—5) je však malý a pohybuje sa v rámci možných experimentálnych chýb ( $148 \pm 5 kJ \cdot mol^{-1}$ ). Markantnejšie zvýšenie hodnôt  $E_A$  spôsobuje už spomínané zníženie usporiadanosť štruktúry kaolinitu, alebo zásah do reakčného prostredia (najmä sfrazenie úniku reakčného produktu). V práci [1] sme diskutovali problém vyšších hodnôt  $E_A$  pri dehydroxylácii prírodných kaolinitov s neusporiadanou štruktúrou (napr. minerál fireclay). Podobný efekt sme dosiahli

po achátování vzorky Kaznějov (vzorka č. 10), keď hodnota  $E_A$  vzrástla zo 175 na 247 kJ · mol<sup>-1</sup> (porovnanie vzoriek 6 a 10 v tab. 1). Analogický účinok má zvýšenie  $p_{\text{H}_2\text{O}}$  v reakčnom prostredí (vzorka č. 3 a 11). Tento fakt naznačuje, že rýchlosť reakcie priamo súvisí s transportom H<sub>2</sub>O (g) z fázového rozhrania. Čím je  $p_{\text{H}_2\text{O}}$  v prostredí vyšší, tým je reakčná rýchlosť nižšia a aktivačná energia procesu vyššia ako v podmienkach prieťoku čistého N<sub>2</sub>.

### Kinetický kompenzačný efekt

Lineárne vzťahy medzi aktivačnými parametrami  $E_A$  a  $\ln A$  resp.  $\Delta H^\pm$  a  $\Delta S^\pm$  vyplývajúce z Arrheniovej teórie a z teórie aktivovaného komplexu popísal Exner [12] rovnicami:

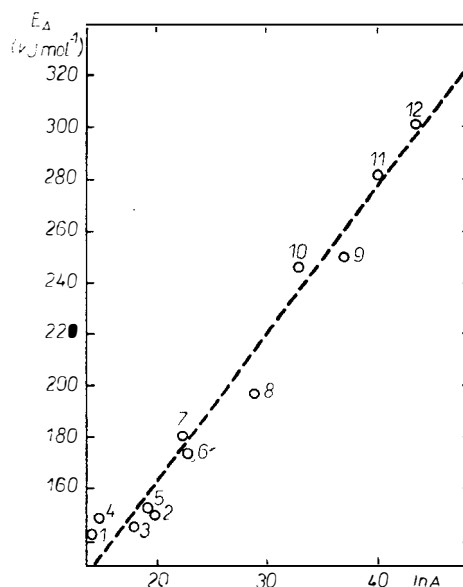
$$E_A = e_0 + R\beta \ln A \quad (8)$$

$$\Delta H^\pm = h_0 + \beta \Delta S^\pm \quad (9)$$

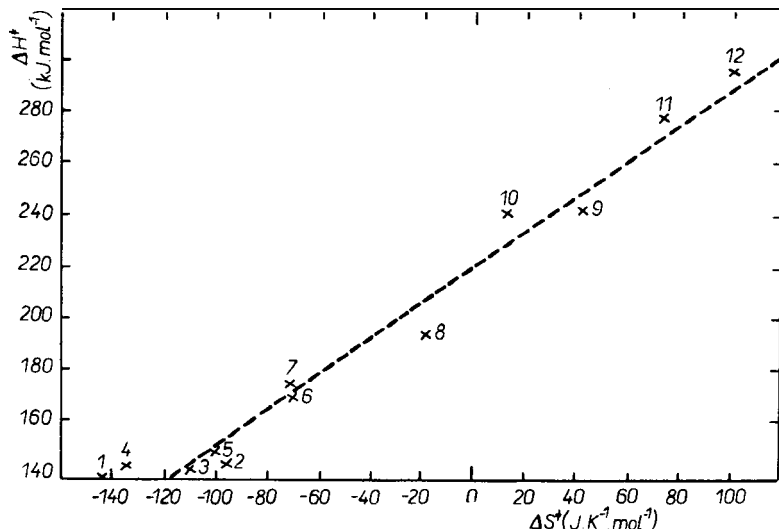
kde  $\beta$  predstavuje tzv. izokinetickej teplotu. Predpokladá sa, že pri tejto teplote všetky reakcie skúmaného súboru vzoriek príbuzného charakteru prebiehajú rovnakou rýchlosťou [13]. Konštandy  $e_0$  a  $h_0$  nemajú fyzikálny význam.

Pri štúdiu kinetického kompenzačného efektu sa v literatúre stretávame prevažne s rovnicou (8) ako napr. v prácach [13—15]. Galwey [16] na základe údajov rôznych autorov vypočítal izokinetickej teplotu dehydroxylácie vrstevnatých hydrosilikátov (kaolinitu, montnorillonitu, illitu, muskovitu)  $\beta = 935 \text{ K}$ .

Kompenzačné závislosti medzi aktivačnými veličinami dehydroxylácie nami študovaných kaolinitov uvádzame na obr. 3 a 4. Pre dokumentované závislosti boli metódou najmenších štvorcov vypočítané nasledovné konštandy:



Obr. 3. Kompenzačný vzťah medzi aktivačnou energiou a frekvenčným faktorom podľa rovnice (8). (Čísla vzoriek ako v tab. 1).



Obr. 4. Kompenzačný vzťah medzi aktivačnou entalpiou a aktivačnou entropiou podľa rovnice (9). (Čísla vzoriek ako v tab. 1).

rovnica (8), obr. 3:  $e_0 = 51,1 \text{ kJ} \cdot \text{mol}^{-1}$ ,  $\beta = 677 \text{ K}$ , koeficient korelácie „r“ = = 0,985;

rovnica (9), obr. 4:  $h_0 = 222 \text{ kJ} \cdot \text{mol}^{-1}$ ,  $\beta = 680 \text{ K}$ ,  $r = 0,985$ .

Z uvedeného vyplýva, že aktivačné veličiny dehydroxylačnej reakcie kaolinitov vyhovujú kompenzačným vzťahom podľa rovníc (8) a (9). Zistená skutočnosť podporuje predpoklad, že dehydroxylačný proces prebieha rovnakým mechanizmom nezávisle od usporiadania štruktúry kaolinitu [1], spôsobu prípravy kaolinitickej vzorky a reakčných podmienok. Tieto faktory ovplyvňujú predovšetkým energetickú bilanciu procesu.

Medzi hodnotami  $\beta$  vypočítanými z lineárnych závislostí (8) a (9) je dobrá zhoda a stanovená izokinetickej teplota ( $679 \pm 2 \text{ K}$ ) zodpovedá reálnejšie študovaným systémom ako teplota prezentovaná v práci [16].

## ZÁVER

Na základe širšieho súboru kinetických meraní bolo možné posúdiť vplyv rôznych faktorov na mechanizmus dehydroxylácie kaolinitov. Potvrdilo sa, že najpomalším pochodom v procese dehydroxylácie je difúzia  $\text{H}_2\text{O}$  (g) z fázového rozhrania, ktorú možno popísť rýchlosťou rovnicou pre difúziu v guľovitej časti. Zhodu experimentálnych výsledkov s matematickým modelom SO (rychlosťná rovnica reakcií II. poriadku) možno považovať za zdánlivú bez fyzikálneho významu.

Medzi aktivačnými parametrami (aktivačnou energiou, frekvenčným faktorom, aktivačnou entalpiou a aktivačnou entrópiou) boli zistené kompenzačné vzťahy, ktoré umožnili vypočítať tzv. izokinetickú teplotu dehydroxylácie kaolinitov. Izokinetická teplota  $B = 679 \pm 2 \text{ K}$  spadá do intervalu teplôt vykonaných izotermických meraní.

## Literatúra

- [1] Horváth I., Kranz G.: *Silikáty* 24, 149 (1980).
- [2] Harman M., Horváth I.: *Geologický zborník — Geologica Carpathica* 31, 115 (1980).
- [3] Sharp J. H., Brindley G. W., Narahari Achar B. N.: *J. Amer. Ceram. Soc.* 49, 379 (1966).
- [4] Murray P., White J.: *Trans. Brit. Ceram. Soc.* 48, 187 (1949).
- [5] Brindley G. W., Nakahira M.: *J. Ceram. Soc.* 40, 346 (1957).
- [6] Murray P., White J.: *Trans. Brit. Ceram. Soc.* 54, 137 (1955).
- [7] Toussaint F., Fripiat J. J., Gastuche M. C.: *J. Phys. Chem.* 67, 26 (1963).
- [8] Brindley G. W., Nakahira M.: *Clay Min. Bull.* 3, 114 (1957).
- [9] Holt J. B., Cutler I. B., Wadsworth M. E.: *J. Amer. Ceram. Soc.* 45, 133 (1962).
- [10] Johnson H. B., Kessler F.: *J. Amer. Ceram. Soc.* 52, 199 (1969).
- [11] Tsuzuki Y., Nagasawa K.: *J. of the Earth Sci. Nagoya Univ.* 5, 153 (1957).
- [12] Exner O.: *Collect. Czechoslov. Commun.* 29, 1094 (1964).
- [13] Gorbačev V. M.: *J. Therm. Anal.* 8, 585 (1975).
- [14] Gallagher P. K., Johnson D. W. Jr.: *Thermochim. Acta* 14, 255 (1976).
- [15] Dollimore D., Rodgers P. F.: *Thermochim. Acta* 30, 273 (1979).
- [16] Galwey A. K.: *Adv. Catal.* 26, 247 (1977).

ТЕРМОАНАЛИТИЧЕСКОЕ ИССЛЕДОВАНИЕ  
ВЫСОКОТЕМПЕРАТУРНОЙ ДЕГИДРАТАЦИИ КАОЛИНИТОВ

II. Активационные параметры и компенсационный кинетический эффект

Иван Горват, Петер Комадел, Любица Галикова

*Институт неорганической химии, Центр химического исследования САН,  
842 36 Братислава*

На основании более широкого комплекса изотермических ТГ измерений рассматривали влияние разных факторов на механизм и активационные параметры дегидроксилиационной реакции каолинитов. Было установлено, что полученные изотермы в интервале превращения  $0 < \alpha < 0,65$  можно линеаризовать с помощью уравнения Гинстлинга-Брунштейна для диффузии в шарообразной частице, или с помощью уравнения скорости реакции второго порядка [ $d\alpha/dx = k(1 - \alpha)^2$ ]. Применение уравнения Гинстлинга-Брунштейна является доказательством до сих пор имеющихся данных относительно диффузии в качестве управляющего процесса при дегидроксилиации каолинитов, совпадение экспериментальных результатов с математической моделью уравнения скорости реакции второго порядка можно считать кажущимся, без физического значения.

Величины энергий активации дегидроксилиционного процесса растут с повышением  $r_{n,o}$  в среде а в случае искусственным путем вызванного повышения неупорядоченности структуры каолинита (после ахатирования пробы).

Между активационными величинами (энергией активации и частотным фактором и между энталпийей и энтропией активации) установили линейные компенсационные отношения, на основании которых можно рассчитать так наз. изокинетическую температуру дегидроксилиации каолинита  $\beta = 679 \pm 2$  К. Установленная изокинетическая температура относится к интервалу температур проведенных изотермических ТГ измерений.

*Рис. 1. Типичные изотермы дегидроксилиации каолинита, полученные с помощью изотермического ТГ анализа ( $\alpha = Zt/Zx$ , где  $Zt$  потеря в массе во времени  $t$  и  $Zx$  — потеря после окончания процесса дегидроксилиации).*

*Рис. 2. Сопоставление экспериментальных результатов с модельными механизмами  $D\epsilon$  (диффузия в шарообразной частице) и  $SO$  (уравнение скорости реакции второго порядка) в относительной шкале времени.*

*Рис. 3. Компенсационное отношение между энергией активации и логарифмом частотного фактора при дегидроксилиации каолинитов (числа проб согл. табл. I).*

*Рис. 4. Компенсационное отношение между активационной энталпийей и активационной энтропией (числа проб согл. табл. I).*

**THERMOANALYTICAL STUDY OF HIGH-TEMPERATURE  
DEHYDRATION OF KAOLINITES**

**II. Activation Parameters and the Kinetic Compensation Effect**

Ivan Horváth, Peter Komadel, Lubica Gálíková

*Institute of Inorganic Chemistry, Centre of Chemical Research, Slovak Academy of Sciences,  
842 36 Bratislava*

The effect of various factors on the mechanism and activation parameters involved in the dehydroxylation of kaolinites was assessed on the basis of a larger set of isothermal TG measurements. It was found that the isotherms obtained over the conversion interval  $0 < \alpha < 0.65$  can be linearized by means of Ginstling-Brounstein's equation for diffusion in a spherical particle or by means of the rate equation for IIInd order reactions [ $d\alpha/dt = k(1 - \alpha)^2$ ]. The application of Ginstling-Brounstein's equation confirms the existing knowledge on diffusion as the control process of dehydroxylation of kaolinites; the obeying of the experimental results with the mathematical model of the rate equation for IIInd order reactions may be regarded as apparent without any physical significance.

The values of the activation energy of the dehydroxylation process increase with increasing  $p_{H_2O}$  in the environment and in the case of artificial disordering of the kaolinite structure (induced by sample grinding).

Between the activation parameters (activation energy and frequency factor, and between activation enthalpy and activation entropy) there were found to exist linearly compensation relationships, which allowed the so-called isokinetic temperature of kaolinite dehydroxylation  $\beta = 679 \pm 2$  K to be calculated. This isokinetic temperature is within the temperature interval of the isothermal TG measurements performed.

*Fig. 1. Typical isotherms of kaolinite dehydroxylation obtained by isothermal TG analysis ( $\alpha < Z\tau/Zx$  where  $Z\tau$  is the loss in weight at time  $\tau$  and  $Zx$  is the final weight loss after completion of the dehydroxylation process).*

*Fig. 2. A comparison of the experimental results with the  $D_3$  (model mechanism for diffusion in a spherical particle and with SO (rate equation of IIInd order reactions) functions in a relative time scale.*

*Fig. 3. Compensating relation between activation energy and logarithm of the frequency factor in the dehydroxylation of kaolinites (sample numbers according to Table 1).*

*Fig. 4. Compensating relationship between activation enthalpy and activation entropy (sample numbers according to Table 1).*

---

RATGEBER FÜR ZEMENT-INGENIEURE (Rádce pro inženýry-cementáře). Založen O. Labahnem. 6. vydání nově přepracované B. Kohlhaasem a 15 spolupracovníky. Bauverlag Wiesbaden a Berlin 1982. 756 str., řada obrázků, diagramů a tabulek, cena 190 DM.

Technologie cementu a jeho výroby v celé šíři zaznamenala v posledních dvou desetiletích prudký rozvoj. Tuto skutečnost postihuje bezezbytku zcela nový „Labahn“, pojem, který není třeba vysvětlovat cementářským praktikům. Sesté vydání této publikace od B. Kohlhaase spolu s 15 dalšími autory předčilo veškeré očekávání. Předchozí vydání příručky, založené O. Labahnem v roce 1954, prodělala sice určitý vývoj (3. vydání rozšířené O. Labahnem a 4. vydání podstatně rozšířené W. A. Kaminským), avšak nikdy nedoznala takové změny jako toto 6. vydání. Nejen že se sestinásobně zvětšil obsah příručky, ale podstatné je, že na publikaci spolupracovalo dalších 15 autorů, odborníků z nejrůznějších oborů, dotýkajících se výroby cementu. Při dnešním technickém vývoji a pokroku není ani možné, aby jeden autor napsal tak rozsáhlou publikaci. 6. vydání příručky přináší současné světové poznatky v oblasti výroby cementu a není snad otázky, na kterou by příručka nedala fundovanou odpověď.

Kniha je rozdělena, pomíne-li úvod, do 13 samostatných kapitol, každá s řadou podkapitol. U každé kapitoly je uveden autor a na závěr bohatý seznam literatury, odkazující na speciální otázky. Kapitola „Suroviny“ pojednává o surovinových ložiskách, geologickém průzkumu, jeho vyhodnocování, o technologii dobývání přes manipulaci se surovinami až po jejich uskladnění.